

SST1 Übungsstunde 8

Matteo Dietz

November 2025

Themenüberblick

- **Spezielle Eingangssignale von LTI-Systemen:**

Repetition: Fourierreihen

Plancherel und Parseval für periodische Signale

- **Anwendungen der FT auf LTI-Systeme:**

Ideale Tiefpassfilter

Bandbegrenzte Signale

Aufgaben für diese Woche

67, 68, 69, 70, 71, 72, 73, 74, 75, 76, 77, 78, 79, 80, 81, 82

Die **fettgedruckten** Übungen empfehle ich, weil sie wesentlich zu eurem Verständnis der Theorie beitragen und/oder sehr prüfungsrelevant sind.

Repetition: Fourierreihen

$$x(t) = x(t+T) = \sum_{k=-\infty}^{\infty} c_k e^{\frac{2\pi i k t}{T}}, \quad \text{wobei} \quad c_k = \frac{1}{T} \int_0^T x(t) e^{-\frac{2\pi i k t}{T}} dt$$

$x(t)$ wird gemäss Nr. 21 fouriertransformiert zu:

$$(\mathcal{F}x)(f) = \hat{x}(f) = \mathcal{F} \left\{ \sum_{k=-\infty}^{\infty} c_k e^{\frac{2\pi i k t}{T}} \right\} = \sum_{k=-\infty}^{\infty} c_k \delta \left(f - \frac{k}{T} \right)$$

Fourierreihen: Eigenschaften

- (i) Fourierreihen existieren nur für periodische Signale.
- (ii) Periodische Signale haben immer ein "diskretes" Frequenzspektrum.
- (iii) c_k sind die komplexen Koeffizienten und beschreiben das Signal im Frequenzbereich.

Periodische Signale an LTI-Systemen

- Eingangssignal: $x(t) = \sum_{k=-\infty}^{\infty} c_k e^{\frac{2\pi i k t}{T}}$
- Dank Linearität, Stetigkeit und weil $(H e^{2\pi i f_0 \cdot})(t) = \hat{h}(f_0) e^{2\pi i f_0 t}$

$$\Rightarrow y(t) = (Hx)(t) = \sum_{k=-\infty}^{\infty} c_k \underbrace{\hat{h}\left(\frac{k}{T}\right)}_{d_k} e^{\frac{2\pi i k t}{T}}$$

- Das Ausgangssignal auf ein T -periodisches Eingangssignal ist auch T -periodisch.

Poissonsche Summenformel

$$\sum_{k=-\infty}^{\infty} h(t - kT) = \frac{1}{T} \sum_{k=-\infty}^{\infty} \hat{h}\left(\frac{k}{T}\right) e^{\frac{2\pi i k t}{T}}$$

- Beispiel:

Plancherel und Parseval für T -periodische Signale

Es seien $x, y \in L^2([0, T])$ T -periodisch. Dann gilt:

Plancherelsche Identität für periodische Signale

$$\frac{1}{T} \int_0^T x(t)y^*(t)dt = \sum_{k=-\infty}^{\infty} c_k^x (c_k^y)^*$$

Parsevalsche Beziehung für periodische Signale

$$\|x\|_{L^2([0, T])}^2 = \frac{1}{T} \int_0^T |x(t)|^2 dt = \sum_{k=-\infty}^{\infty} |c_k|^2$$

Parseval: Bemerkungen

- Wir betrachten hier den Fall $T = 1$.
- Die Parsevalsche Beziehung sagt zwei Dinge aus:
 - ① Die L^2 -Norm der Funktion (“Energie”) kann statt aus einem Integral aus einer Summe (der Fourier-Koeffizienten im Betragsquadrat) berechnet werden.
 - ② Die Fourierkoeffizienten klingen für $L^2([0, 1])$ schneller als $\frac{1}{n}$ ab.

Parseval: Bemerkungen

- Wir leiten $x(t) = \sum_{k=-\infty}^{\infty} c_k e^{2\pi i k t}$ nach t ab:

$$\frac{dx(t)}{dt} = \sum_{k=-\infty}^{\infty} 2\pi i k \underbrace{c_k}_{\hat{x}(k)} e^{2\pi i k t}$$

\Rightarrow für die Fourier-Koeffizienten der Ableitung von $x(t)$ gilt:
 $\hat{x}'(k) = 2\pi i k \hat{x}(k)$ und somit:

$$\widehat{x^{(n)}}(k) = (2\pi i k)^n \underbrace{\hat{x}(k)}_{c_k} \quad \text{und} \quad \|x^{(n)}\|_{L^2}^2 = (2\pi)^{2n} \sum_{k=-\infty}^{\infty} k^{2n} |\underbrace{\hat{x}(k)}_{c_k}|^2,$$

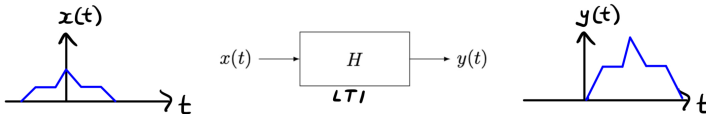
Parseval: Bemerkungen

- Direkte Verbindung zwischen Glattheit eines Signals und dem Abfall seiner Fourier-Koeffizienten:
- Je glatter das Signal, desto schneller ist der Abfall seiner Fourier-Koeffizienten, also desto schneller ist die Konvergenz der Fourierreihe.
- **Anwendung:** Sehr gute numerische Approximation von glatten Funktionen mittels kurzen Fourier-Summen. Unglatten Funktionen brauchen längere Fourier-Summen.

Aufgaben

- Prüfungsaufgabe: Frühjahr 2024, Aufgabe 1.a) iii, iv und 1.d)i, ii

Anwendung der FT auf LTI-Systeme



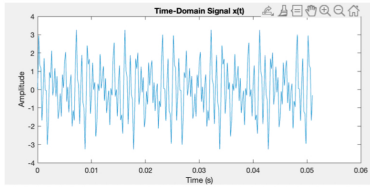
Def: Ein **verzerrungsfreies** System hat folgende Eigenschaften:

- ① Input und Output haben die gleiche Form, d.h.

$$y(t) = kx(t - t_0) \xrightarrow{2.} \hat{y}(f) = \underbrace{ke^{-2\pi ift_0}}_{=\hat{h}(f)} \hat{x}(f)$$

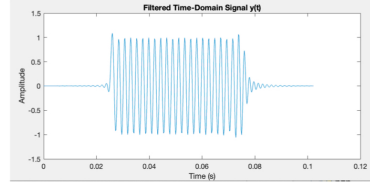
- ② $\hat{h}(f) = |\hat{h}(f)| e^{i\varphi(f)} = k e^{i(-2\pi f t_0)}$ $\xrightarrow{} h(t) = k\delta(t - t_0)$
- ③ Das System ist linear, stabil, kausal und zeitinvariant

Tiefpassfilter: Beispiel

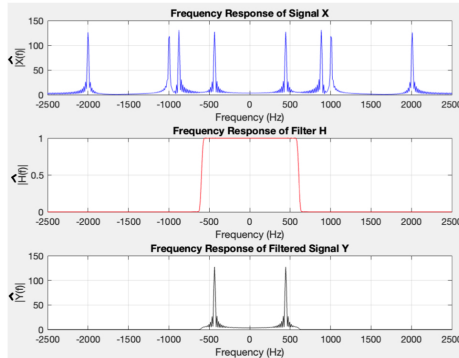


$$(x * h)(t) \circ \bullet \hat{x}(f) \cdot \hat{h}(f)$$

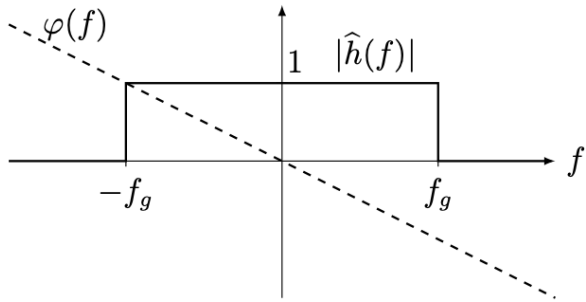
$x(t) \rightarrow H \rightarrow y(t)$
(Hamming Window based)
Lowpass Filter



$$x(t) = \sum_{f \in F} \sin(2\pi t f / F_s)$$
$$F = \{440, 880, 1000, 2000\}$$



Idealisierte Tiefpassfilter



$$\hat{h}(f) = |\hat{h}(f)| e^{i\varphi(f)}, \text{ wobei } |\hat{h}(f)| = \begin{cases} 1, & |f| \leq f_g \\ 0, & \text{sonst} \end{cases} \quad \varphi(f) = -2\pi f t_0$$

Idealisierte Tiefpassfilter

- $e^{i\varphi(f)}$ entspricht einer Zeitverzögerung von t_0 .
- Wir schreiben $\hat{h}(f) = \underbrace{|\hat{h}(f)|}_{=:\hat{h}_{id}(f)} e^{-2\pi ift_0} \xrightarrow[2.]{\bullet} h_{id}(t - t_0)$
- $h_{id}(t) = \frac{\sin(2\pi f_g t)}{\pi t} \xrightarrow[27.]{\bullet} \hat{h}_{id}(f) = \begin{cases} 1, & |f| \leq f_g \\ 0, & \text{sonst} \end{cases}$
- $\Rightarrow h(t) = h_{id}(t - t_0) = \frac{\sin(2\pi f_g(t - t_0))}{\pi(t - t_0)}$

Idealisierte Tiefpassfilter: Bemerkungen

① Da $h(t) = 0 \forall t < 0$ **nicht gilt**, ist das ideale Tiefpassfilter **nicht kausal**.

② Es gilt **nicht**, dass $\int_{-\infty}^{\infty} |h(t)|dt < \infty$.

(Die Impulsantwort ist nicht absolut integrierbar)

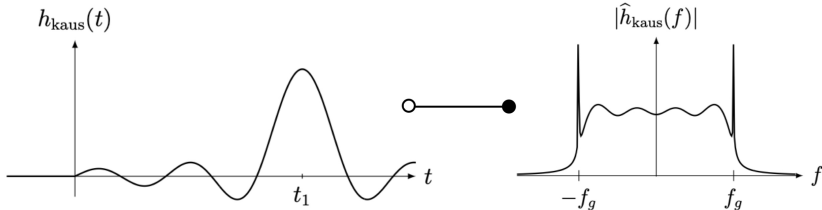
Grund: Riemann-Lebesgue Lemma

1.&2. \implies Ideale Tiefpassfilter sind **nicht realisierbar** in der Praxis. Wir müssen das Filter kausal und h absolut integrierbar (damit BIBO-Stabilität garantiert ist) machen!

Tiefpassfilter: Kausalisierung

- Wir wollen Kausalität: $h(t) = 0 \forall t < 0$
- Im Zeitbereich: $h_{id}(t) = \frac{\sin(2\pi f_g t)}{\pi t}$
- Wir verschieben $h_{id}(t)$ um t_1 , multiplizieren mit $\sigma(t)$ und erhalten $h(t) = 0 \forall t < 0$.
- Somit $h_{kaus}(t) = h_{id}(t - t_1)\sigma(t)$

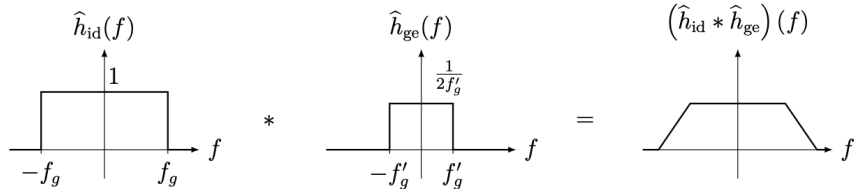
Tiefpassfilter: Kausalisierung



- Die dazugehörige Fouriertransformation $\hat{h}_{\text{kaus}}(f)$ verstärkt die Frequenzen bei $\pm f_g$ deutlich.
- $\Rightarrow h_{\text{kaus}}$ ist kein gutes Filter.

Tiefpassfilter: Stabilisierung

- Wir wollen $h(t)$ absolut integrierbar. Wir falten $(\hat{h}_{id} * \hat{h}_{ge})(f)$

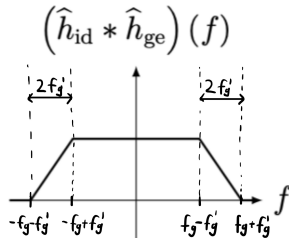


- Wir erhalten:

$$(\hat{h}_{id} * \hat{h}_{ge})(f) \bullet \circ h_{id}(t)h_{ge}(t) \propto \frac{1}{t} \cdot \frac{1}{t} = \frac{1}{t^2} \in L^1$$

Tiefpassfilter: Stabilisierung

- Das resultierende Tiefpassfilter ist BIBO-stabil und sieht im Frequenzbereich aus wie folgt:



- Da dieses Filter nicht perfekt ist in den Bereichen $|f \pm f_g'| \in [-f_g', f_g']$, versucht man f_g' so klein wie möglich zu wählen.

Bandbegrenzte Signale

- **Def:** Die **Bandbreite** des Signals x ist das kleinste W , so dass

$$(x * h_{\text{TP}, W})(t) = x(t), \quad \text{für alle } t \in \mathbb{R}, \text{ wobei}$$

$$h_{\text{TP}, W}(t) = \sin(2\pi Wt)/(\pi t).$$

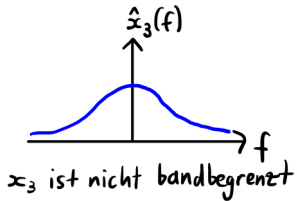
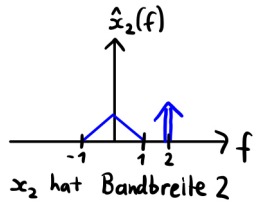
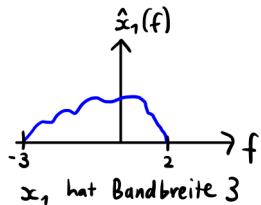
- Im Frequenzbereich bedeutet das

$$\hat{x}(f)\hat{h}_{\text{TP}, W}(f) = \hat{x}(f), \quad \text{für alle } f \in \mathbb{R}, \text{ und}$$

$$\hat{h}_{\text{TP}, W}(f) = \begin{cases} 1, & |f| \leq W \\ 0, & \text{sonst.} \end{cases}$$

Bandbreite

- **Intuitiv:** Die Bandbreite ist die betragsweise höchste Frequenz (positiv oder negativ), die in einem Signal enthalten ist.



Bandbreite: Bemerkungen

- Seien x_1, x_2 zwei Signale mit Bandbreite W_1 resp. W_2
 - (i) $x_1(t) + x_2(t)$ hat Bandbreite $\max\{W_1, W_2\}$
 - (ii) $(x_1 * x_2)(t)$ hat Bandbreite $\min\{W_1, W_2\}$
 - (iii) $x_1(t)x_2(t)$ hat Bandbreite $\leq W_1 + W_2$

Bernstein'sche Ungleichung

Thm: Wenn $x(t)$ in der folgenden Form dargestellt werden kann:

$$x(t) = \int_{-W}^W g(f) e^{2\pi i f t} df, \text{ für alle } t \in \mathbb{R}$$

wobei g eine absolut integrierbare Funktion ist, d.h. $g \in L^1$, dann:

$$\left| \frac{dx(t)}{dt} \right| \leq 4\pi W \sup_{t \in \mathbb{R}} |x(t)|, \quad \text{für alle } t \in \mathbb{R}.$$

Bernstein'sche Ungleichung

- Dieses Kriterium liefert uns eine Abschätzung für die Ableitung von $x(t)$.
- Kleine Bandbreite $W \implies$ nur tiefe Frequenzen sind im Signal enthalten $\implies x(t)$ kann sich nur "langsam" ändern.

Aufgabe 68